

Prova 2: MCF IMPA 2021

(Data de Entrega: 14 de Junho)

1. Considere o modelo de volatilidade local

$$dS(t) = \mu S(t)dt + \sigma(S(t), t)S(t)dW(t), \quad (1)$$

(Note que esta equação é similar à de Black-Scholes clássica, mas aqui a volatilidade é uma função do tempo e do preço da ação $S(t)$. Neste caso não existe uma fórmula para a solução, portanto é necessário o uso de métodos numéricos)

- (a) Implemente um código computacional que simule, usando o método de *Milstein*, M trajetórias do preço da ação no intervalo $[0, T]$. Para isto considere

$$\sigma(S, t) = \sigma_0 + \sigma_1 \cos\left(\frac{2\pi S}{K}\right) \sin\left(\frac{2\pi t}{K}\right)$$

e considere $M, \mu, \sigma_0, \sigma_1, K, S_0, T$ como parâmetros de entrada.

- (b) Implemente um código computacional para a precificação de uma opção Call Europeia. Isto é, calcule

$$C(0, S_0) = e^{-rT} E(S(T) - K)^+.$$

Considere $\mu, \sigma_0, \sigma_1, K, S_0, r, T$ como parâmetros de entrada, e use para isto o método *Euler-Maruyama Simplicado* (ou seja, o *Weak Euler-Maruyama*).

- (c) Implemente um código computacional para a precificação de uma opção do tipo Asian-European Call. Isto é, calcule

$$C(0, S_0) = e^{-rT} E\left(\frac{1}{T} \int_0^T S(u)du - K\right)^+.$$

Considere $\mu, \sigma_0, \sigma_1, K, S_0, r, T$ como parâmetros de entrada, e use o método numérico que você desejar. (**Dica:** Defina $y(t) = \int_0^t S(u)du$ e considere o sistema de EDEs formado pela equação (1) e pela equação para $y(t)$. Agora o problema se resume em calcular $C(0, S_0) = e^{-rT} E\left(\frac{1}{T}y(T) - K\right)^+$. O qual é essencialmente o problema do item b)

2. No caso que σ depende de S e t (i.e., modelo (1)), a equação de Black-Scholes para o preço de uma opção Call Europeia com vencimento em $t = T$ e strike K , toma a forma:

$$\frac{\partial C}{\partial t} - \frac{1}{2}\sigma(S(t), t)S^2 \frac{\partial^2 C}{\partial S^2} - rS \frac{\partial C}{\partial S} + rC = 0, \quad S > 0, t < T$$

com condição inicial e de contorno:

$$\begin{aligned} C(S, 0) &= (S(0) - K)^+, \\ C(0, t) &= 0, \\ C(L, t) &= L. \end{aligned}$$

- (a) Implemente o cálculo da opção Call Europeia, usando o método FTCS. Considere

$$\sigma(S(t), t) = \sigma_0 + \sigma_1 \cos\left(\frac{2\pi t}{T}\right) \exp\left(-\left(\frac{S}{K} - 1\right)^2\right),$$

e use $\sigma_0, \sigma_1, K, L, r, T$ como parâmetros de entrada.

- (b) Faça um plot em $[0, L] \times [0, T]$ da superfície de precificação $C(S, t)$.

Métodos Computacionais em Finanças / IMPA(2021)

Soluções

Francis Araujo

January 3, 2022

1 Modelo de volatilidade local

$$dS(t) = \mu S(t)dt + \sigma(S(t), t)S(t)dW(t) \quad (1)$$

Defina:

$$\sigma(S, t) = \sigma_0 + \sigma_1 \cos\left(\frac{2\pi S}{K}\right) \sin\left(\frac{2\pi t}{K}\right)$$

Note que esta equação é similar à de Black-Scholes clássica, mas a volatilidade é uma função do tempo e o preço da ação $S(t)$. Neste caso não existe uma fórmula para a solução, portanto é necessário o uso de métodos numéricos.

1.1 Método de Milstein

Implemente um código computacional que simule, usando o método de Milstein, M trajetórias do preço da ação no intervalo $[0, T]$.

1.1.1 Código Referência

Nome do arquivo: milstein_algorithm

Solution:

Note que a equação (1) pode ser escrita da seguinte forma:

$$dS(t) = a(S(t), t)dt + b(S(t), t)dW(t)$$

Sendo assim, $a(S(t), t)$ representa a parcela do drift, enquanto $b(S(t), t)$ representa a parcela de difusão.

O método de Milstein é dado por:

$$\begin{aligned} S_{n+1} &= S_n + a(t_n, S_n)h + b(t_n, S_n)\Delta W_n + \frac{1}{2}bb_s(\Delta W_n^2 - h) \\ &= S_n + a(t_n, S_n)h + b(t_n, S_n)\sqrt{\Delta h} \cdot W_n + \frac{1}{2}bb_s\sqrt{\Delta h}(W_n^2 - 1) \end{aligned}$$

$$h = t_{n+1} - t_n ; b_s = \frac{\partial b}{\partial S}$$

Aplicando este método, a dinâmica de movimento para cada instante de tempo será:

$$S_{n+1} = S_n + \mu S_n h + [\sigma_0 + \sigma_1 \cos\left(\frac{2\pi S_n}{K}\right) \sin\left(\frac{2\pi t_n}{K}\right)] S_n \sqrt{h} W_n + \frac{1}{2} b b_s \sqrt{\Delta h} (W_n^2 - 1)$$

e

$$\begin{aligned} b_s &= 1 \cdot \sigma(t_n, S_n) + S_n \cdot \sigma_s(t_n, S_n) \\ &= 1 \cdot \sigma(t_n, S_n) + S_n \left[-\sigma_1 \sin\left(\frac{2\pi S_n}{K}\right) \cdot \sin\left(\frac{2\pi t_n}{K}\right) \cdot \frac{2\pi}{K} \right] \end{aligned}$$

A figura abaixo destaca a trajetória do ativo subjacente, utilizando o método proposto. Parâmetros considerados: $T = 10$; $S_0 = 1$; $M = 12$; $\mu = 0.01$; $\sigma_0 = 0.05$; $\sigma_1 = 0.03$; $K = 1.1$; Time_steps=50

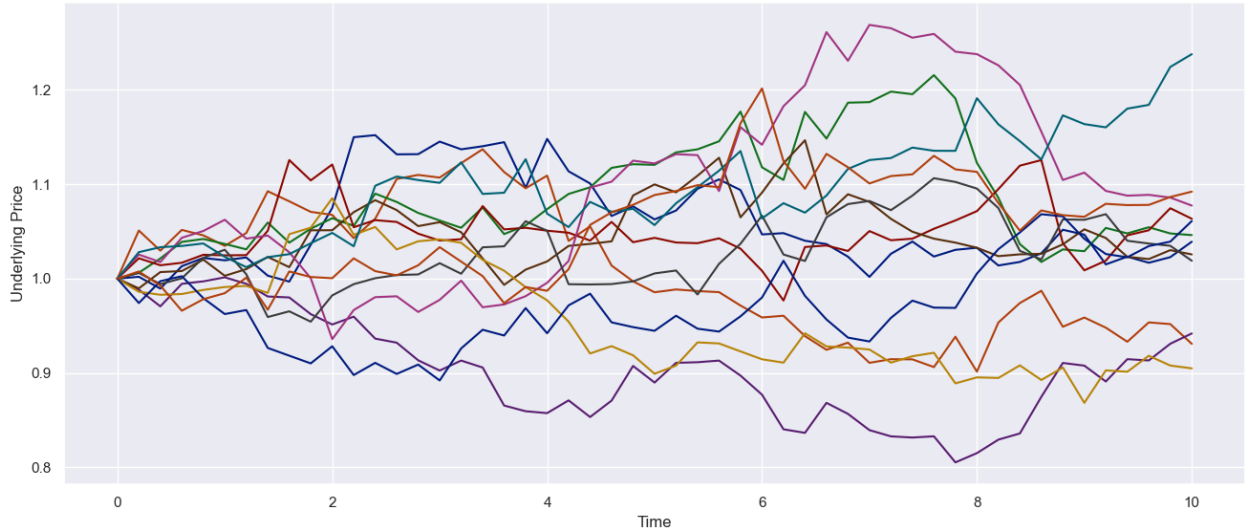


Figure I: Trajetória de Preços (Milstein)

Além disso, interessante mencionar a distribuição dos preços do ativo subjacente na maturidade (S_T), para esta simulação. O gráfico II destaca que 40% dos preços finais são menores ou iguais do que a média amostral, representado pelo valor 0.4 atribuído a função de distribuição acumulada (eixo y) para este determinado momento. É possível interpretar, também, que aproximadamente 60% da distribuição de preços se localiza um desvio-padrão de distância da média amostral.

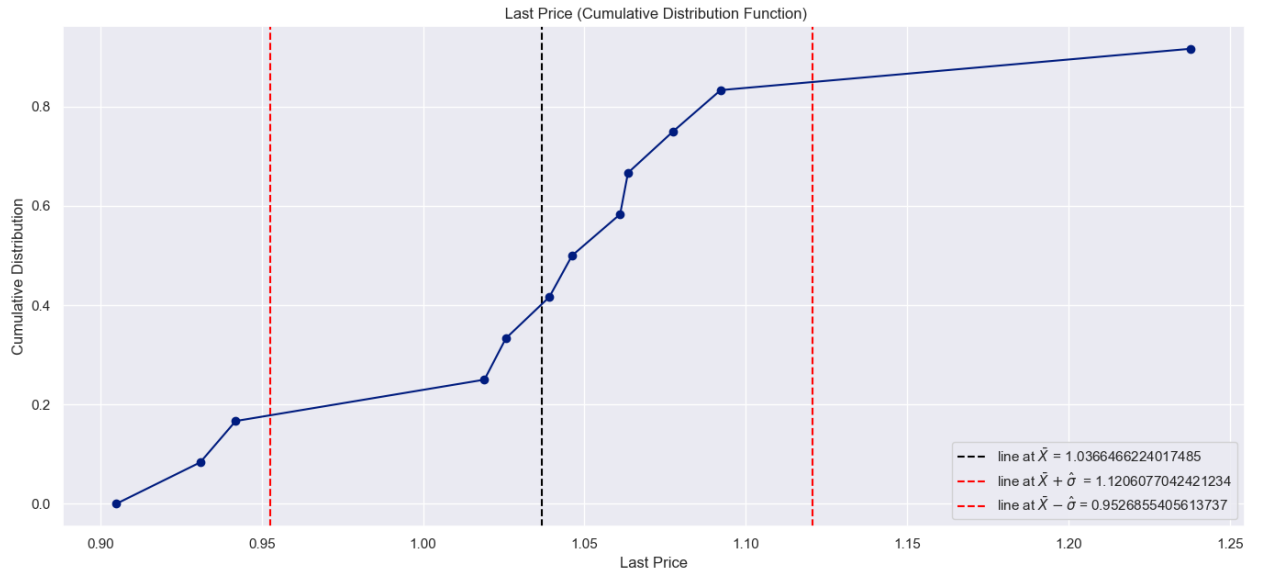


Figure II: Distribuição Acumulada (Preço Final)

■

1.2 Método Euler-Maruyama Simplificado

Implemente um código computacional para a precificação de uma opção Call Europeia. Isto é, calcule:

$$C(0, S_0) = e^{-rT} E(S(T) - K)^+$$

1.2.1 Código Referência

Nome do arquivo: Euler_M_Simplificado

Solution:

O esquema numérico é dado por:

$$\begin{aligned} S_{n+1} &= S_n + a(t_n, S_n)h + b(t_n, S_n)\sqrt{h} \cdot \text{sign}(\zeta_n - \frac{1}{2}) \\ &= S_n + [\mu S_n] \cdot h + [\sigma_0 + \sigma_1 \cos\left(\frac{2\pi S_n}{K}\right) \sin\left(\frac{2\pi t_n}{K}\right)] S_n \cdot \sqrt{h} \cdot \text{sign}(\zeta_n - \frac{1}{2}) \end{aligned}$$

Tais que:

[1] $\zeta_n \sim U([0, 1])$

[2] $\text{sign}(\cdot)$ representa a função sinal. Assim, se o valor obtido da variável aleatória uniforme for menor de $\frac{1}{2}$, este assumirá valor -1. Caso contrário, o valor a ser assumido será 1.

Uma vez que a dinâmica de S_n está bem estabelecida, será necessário implementar o processo para calcular o preço da opção de compra Européia. Este consiste obter o valor presente do payoff estimado no vencimento.

■

1.3 Strong Euler-Maruyama

Implemente um código computacional para a precificação de uma opção do tipo Asian-European Call. Isto é, calcule:

$$C(0, S_0) = e^{-rT} E \left(\frac{1}{T} \int_0^T S(u) du - K \right)^+$$

1.3.1 Código Referência

Nome do arquivo: Strong_Euler

Solution:

Note que a precificação da opção asiática é um problema ‘path-dependent’, uma vez que o valor da opção no vencimento depende da média dos preços do ativo subjacente entre $[0, T]$. Sendo assim, é necessário um método numérico que não só aproxime bem os valores no vencimento como também toda trajetória de preços. Dito isso, será aplicado o método **forte** de Euler-Maruyama.

Defina $y(t) = \int_0^t S(u) du$. Então, o problema se resume em calcular:

$$C(0, S_0) = e^{-rT} E \left(\frac{1}{T} y(T) - K \right)^+$$

Além disso, note que:

$$\begin{aligned} y(t) &= \int_0^t S(u) du \\ \Rightarrow \frac{dy(t)}{dt} &= S(t) \\ \Rightarrow dy(t) &= S(t) \cdot dt \end{aligned}$$

Portanto, o sistema de EDEs formado pela dinâmica do ativo subjacente e de $y(t)$:

$$\begin{aligned} dS(t) &= \mu S(t) dt + \sigma(S(t), t) S(t) dW(t) \\ dy(t) &= S(t) \cdot dt \end{aligned}$$

Realizando o processo de discretização descrito anterior para a equação diferencial do ativo subjacente:

$$\begin{aligned} S_{n+1} &= S_n + a(t_n, S_n) h + b(t_n, S_n) \sqrt{h} \cdot Z \\ &= S_n + [\mu S_n] \cdot h + [\sigma_0 + \sigma_1 \cos\left(\frac{2\pi S_n}{K}\right) \sin\left(\frac{2\pi t_n}{K}\right)] S_n \cdot \sqrt{h} \cdot Z \end{aligned}$$

Realizando o processo de discretização para $y(t)$:

$$\begin{aligned} y(t_{n+1}) &= y(t_n) + S_n \cdot h \\ y(t_0) &= 0 \end{aligned}$$

Uma vez que o processo de discretização está estabelecido, usaremos para calcular o valor da opção, definido pelo valor presente do payoff estimado por Monte Carlo.

■

2 Método FTCS.

No caso em que σ depende de S e t , a equação de Black-Scholes para o preço de uma opção Call Europeia com vencimento em $t = T$ e strike K , toma a forma:

$$\frac{\partial C}{\partial t} - \frac{1}{2}\sigma(S(t), t)S^2 \frac{\partial^2 C}{\partial S^2} - rS \frac{\partial C}{\partial S} + rC = 0, \quad S > 0, t < T \quad (2)$$

Com as condições iniciais e de contorno:

$$C(S, 0) = (S(0) - K)^+$$

$$C(0, t) = 0$$

$$C(L, t) = L$$

Implemente o cálculo da opção Call Europeia, usando o método FTCS. Considere

$$\sigma(S(t), t) = \sigma_0 + \sigma_1 \cos\left(\frac{2\pi t}{T}\right) \exp\left(-\left(\frac{S}{K} - 1\right)^2\right)$$

2.1 Código Referência

Nome do arquivo: price_surface

Solution:

Segundo a EDE fornecida, temos que:

$$\begin{aligned} \frac{\partial C}{\partial t} - \frac{1}{2}\sigma(S(t), t)S^2 \frac{\partial^2 C}{\partial S^2} - rS \frac{\partial C}{\partial S} + rC &= 0 \\ \Rightarrow \frac{\partial C}{\partial t} &= \frac{1}{2}\sigma(S(t), t)S^2 \frac{\partial^2 C}{\partial S^2} + rS \frac{\partial C}{\partial S} - rC \\ &= a(S(t), t) \frac{\partial^2 C}{\partial S^2} + b(S(t), t) \frac{\partial C}{\partial S} + \gamma(S(t), t)C \end{aligned}$$

Adicionalmente, pelo método FTCS, podemos determinar as seguintes aproximações:

$$C(s_i, t_j) \approx C_{i,j}$$

$$\frac{\partial}{\partial t} C(s_i, t_{j+1}) \approx \frac{C_{i,j+1} - C_{i,j}}{\Delta t}$$

$$\frac{\partial}{\partial s} C(s_i, t_j) \approx \frac{C_{i+1,j} - C_{i-1,j}}{2\Delta s}$$

$$\frac{\partial^2}{\partial s^2} C(s_i, t_j) \approx \frac{C_{i+1,j} - 2C_{i,j} + C_{i-1,j}}{\Delta s^2}$$

Além disso, sabemos que:

$$s_i = s_0 + i\Delta s \Rightarrow s_i = i\Delta s, \text{ se } s_0 = 0 \quad (3)$$

$$t_j = t_0 + j\Delta t \Rightarrow t_j = j\Delta t, \text{ se } t_0 = 0 \quad (4)$$

Sendo assim, realizando as devidas substituições na equação diferencial, é possível obter:

$$\begin{aligned} \frac{C_{i,j+1} - C_{i,j}}{\Delta t} &= a(S(t), t) \left[\frac{C_{i+1,j} - 2C_{i,j} + C_{i-1,j}}{\Delta s^2} \right] + b(S(t), t) \left[\frac{C_{i+1,j} - C_{i-1,j}}{2\Delta s} \right] + \gamma(S(t), t)C_{i,j} + O(S(t), t) \\ C_{i,j+1} - C_{i,j} &= \Delta t \left[a(S(t), t) \left[\frac{C_{i+1,j} - 2C_{i,j} + C_{i-1,j}}{\Delta s^2} \right] + b(S(t), t) \left[\frac{C_{i+1,j} - C_{i-1,j}}{2\Delta s} \right] + \gamma(S(t), t)C_{i,j} + O(S(t), t) \right] \\ C_{i,j+1} &= \Delta t \left[a(S(t), t) \left[\frac{C_{i+1,j} - 2C_{i,j} + C_{i-1,j}}{\Delta s^2} \right] + b(S(t), t) \left[\frac{C_{i+1,j} - C_{i-1,j}}{2\Delta s} \right] + \gamma(S(t), t)C_{i,j} \right] + C_{i,j} \end{aligned}$$

Assim,

$$C_{i,j+1} = \frac{\Delta t}{\Delta s^2} \cdot a(S(t), t) [C_{i+1,j} - 2C_{i,j} + C_{i-1,j}] + \frac{\Delta t}{2\Delta s} \cdot b(S(t), t) [C_{i+1,j} - C_{i-1,j}] + \Delta t \cdot \gamma(S(t), t)C_{i,j} + C_{i,j}$$

Rearranjando os termos:

$$\begin{aligned} C_{i,j+1} &= [1 - 2\frac{\Delta t}{\Delta s^2} \cdot a(S(t), t) + \Delta t \cdot \gamma(S(t), t)]C_{i,j} + [\frac{\Delta t}{\Delta s^2} \cdot a(S(t), t) + \frac{\Delta t}{2\Delta s} \cdot b(S(t), t)]C_{i+1,j} + \\ &\quad [\frac{\Delta t}{\Delta s^2} \cdot a(S(t), t) - \frac{\Delta t}{2\Delta s} \cdot b(S(t), t)]C_{i-1,j} \end{aligned}$$

Substituindo os coeficientes das expressões anteriores,

$$\begin{aligned} C_{i,j+1} &= [1 - 2\frac{\Delta t}{\Delta s^2} \cdot \sigma(S(t), t)S_i^2 \cdot \frac{1}{2} - \Delta t \cdot r]C_{i,j} + \\ &\quad [\frac{\Delta t}{\Delta s^2} \cdot \sigma(S(t), t)S_i^2 \cdot \frac{1}{2} + \frac{\Delta t}{2\Delta s} \cdot rS]C_{i+1,j} + \\ &\quad [\frac{\Delta t}{\Delta s^2} \cdot \sigma(S(t), t)S_i^2 \cdot \frac{1}{2} - \frac{\Delta t}{2\Delta s} \cdot rS]C_{i-1,j} \end{aligned}$$

Utilizando as equações (3) e (4), é possível simplificar:

$$\begin{aligned} C_{i,j+1} &= [1 - \Delta t \cdot \sigma(S(t), t)i^2 - \Delta t \cdot r]C_{i,j} + \\ &\quad \frac{\Delta t}{2} [\sigma(S(t), t)i^2 + ri]C_{i+1,j} + \\ &\quad \frac{\Delta t}{2} [\sigma(S(t), t)i^2 - ri]C_{i-1,j} \end{aligned}$$

Onde, $\sigma(S(t),t) = \sigma_0 + \sigma_1 \cos\left(\frac{2\pi\Delta t \cdot j}{T}\right) \exp\left(-\left(\frac{\Delta S \cdot i}{K} - 1\right)^2\right)$.

Esta equação final será utilizada no código.
Note que as expressões anteriores podem ser escritas através da forma matricial

$$C_{j+1} = M \cdot C_j + \rho$$

Onde a matriz M é tridiagonal; ρ representa o vetor das condições iniciais.

2.2 Superfície de precificação C(S,t)

Utilizando as seguintes informações:

Parâmetros	r	sigma_0	sigma_1	Time Steps	Price Steps	L	T	K
Valor	0.025	0.06	0.05	16	16	20	1	10

A solução é dada por:

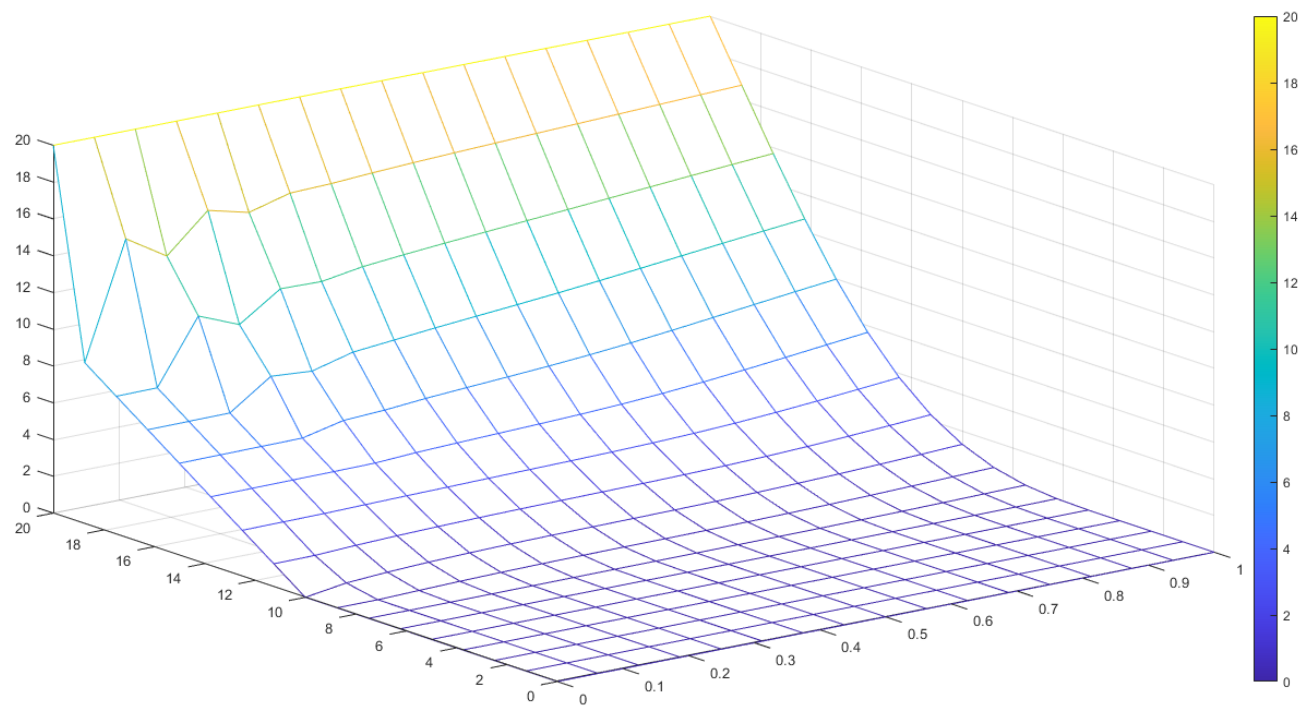


Figure III: Superfície de Precificação (Call Européia)

Constatamos, como o esperado, o preço da opção de compra é uma função crescente em relação ao preço do ativo subjacente. ■

```
In [1]: import numpy as np
import matplotlib.pyplot as plt
import seaborn as sns

#### SDE #####

### Model:  $dS(t) = \mu \cdot S(t)dt + \sigma(S(t), t) \cdot S(t) \cdot dw(t)$ 

####  $\sigma(S(t), t) = \sigma_0 + \sigma_1 \cdot \cos(2\pi \cdot S/K) \cdot \sin(2\pi \cdot t/K)$ 

def milstein_algorithm(T, Time_steps, S_0,K, M, mu, sigma_0, sigma_1):

    # Define semente aleatória
    np.random.seed(502)

    # M: Número de simulações

    # Define o intervalo de tempo
    time_delta = T / Time_steps

    # Define a matriz de preços do ativo subjacente
    S = np.zeros([M, Time_steps+1])

    # Define o preço inicial (primeira coluna da matriz)
    S[:,0] = S_0

    # Define as variáveis aleatórias do modelo
    Z = np.random.normal(size=[M, Time_steps+1]) # (Normal padrão)

    # Define a dinâmica dos preços
    for i in range(Time_steps):
        a = (mu * S[:, i])

        b = ((sigma_0 + sigma_1 * np.cos(2*np.pi*S[:,i]/K) * np.sin(2*np.pi*i/K)) * S[:,i])

        b_s = 1*(sigma_0 + sigma_1 * np.cos(2*np.pi*S[:,i]/K) * np.sin(2*np.pi*i/K)) + (S[:,i]*(-1*sigma_1*np.sin(2*np.pi*i/K))*np.cos(2*np.pi*S[:,i]/K)*np.cos(2*np.pi*S[:,i]/K)*2*np.pi/K)

        S[:,i+1] = S[:,i] + a*time_delta + b*np.sqrt(time_delta)*Z[:,i] + 0.5*b*b_s*time_delta*((Z[:,i]**2) - 1)

    # Divide o eixo x
    time_grid = np.linspace(0, T, Time_steps + 1)

    return time_grid, S

##### Simula M trajetórias de acordo com os parâmetros
store_variable = milstein_algorithm(T=10,Time_steps=50, S_0=1, K=1.1, M=12, mu=0.01, sigma_0=0.05, sigma_1=0.03)

sns.set(palette='dark')
milstein_scheme = plt.axes()
milstein_scheme.plot(store_variable[0], store_variable[1].transpose())
milstein_scheme.set_xlabel('Time')
milstein_scheme.set_ylabel('Underlying Price')
plt.show()

#### Distribuição Acumulada ####

# Armazena os últimos valores de preços
last_price = store_variable[1][:, -1]

# Computa a média para simulação de MC
mean_process = np.mean(last_price)

# Computa o desvio padrão para simulação de MC
std_process = np.std(last_price)

# Plota a CDF dos preços no vencimento
data_sorted = np.sort(last_price)

N_grid = len(data_sorted)

cdf_y = np.arange(N_grid) / float(N_grid)

plt.title(' Last Price (Cumulative Distribution Function)')

plt.axvline(x=mean_process, color='black', linestyle='--', label=r'line at $ \bar X $ = {}'.format(mean_process))

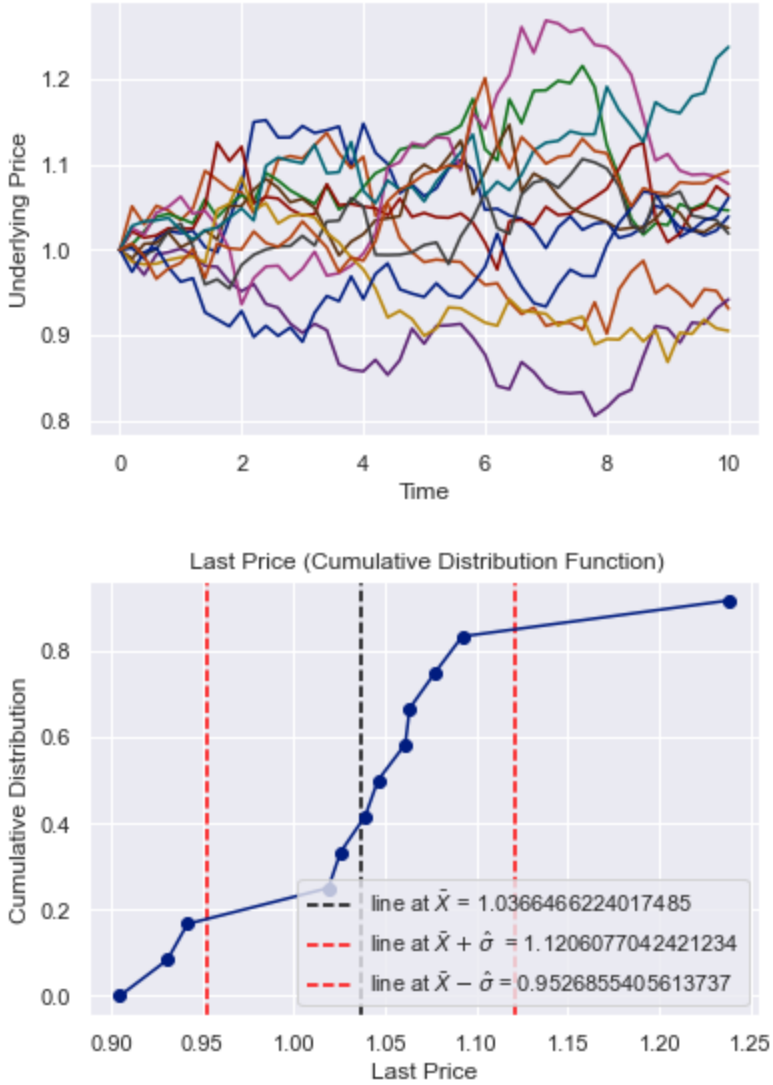
plt.axvline(x=mean_process + std_process, color='red', linestyle='--', label=r'line at $ \bar X + \hat \sigma $ = {}'.format(mean_process + std_process))

plt.axvline(x=mean_process - std_process, color='red', linestyle='--', label=r'line at $ \bar X - \hat \sigma $ = {}'.format(mean_process - std_process))

plt.xlabel("Last Price")
plt.ylabel("Cumulative Distribution")

plt.plot(data_sorted, cdf_y, marker='o')

plt.legend()
plt.show()
```



```
In [ ]: 
```

```
In [ ]: 
```